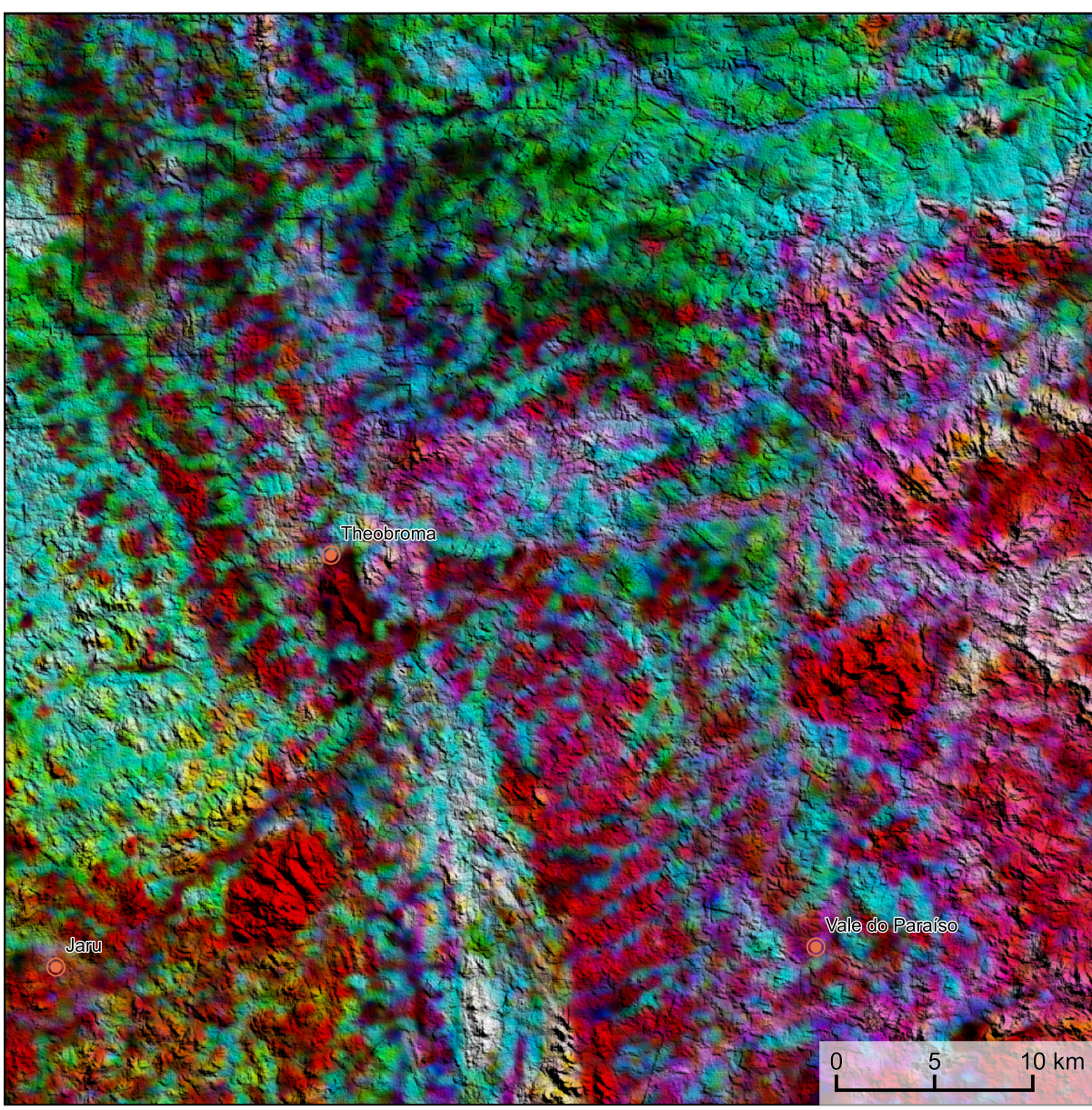
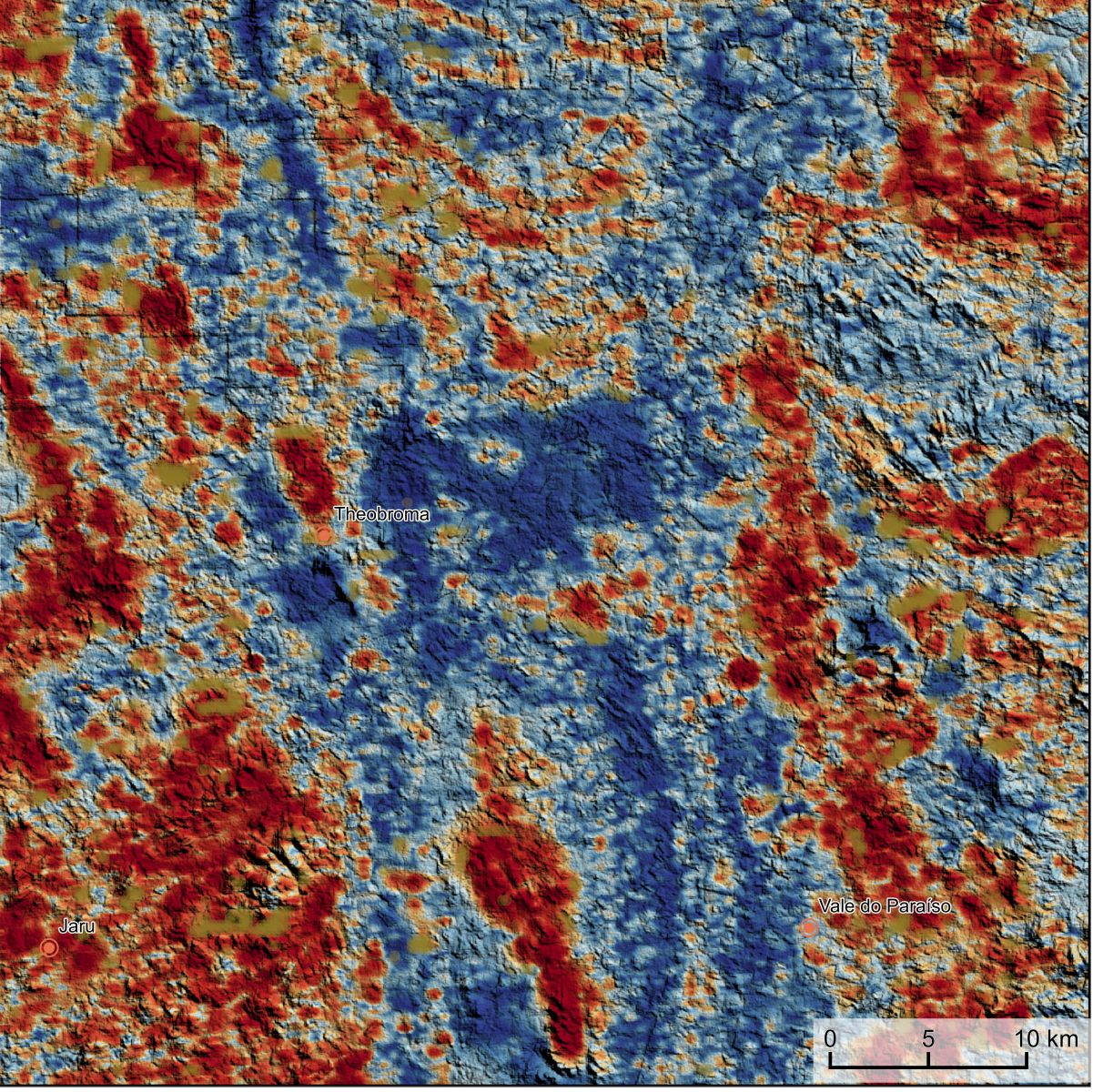


**AEROGAMAESPECTROMETRIA – IMAGEM DE COMPOSIÇÃO TERNÁRIA RGB (K-eTh-eU) COM FUSÃO SRTM**



Mostra a variação das concentrações relativas dos três radioelementos relacionados com as cores vermelho (K%), verde (Th%) e azul (U%). O espectro de cores varia desde o branco, quando predominam as maiores concentrações relativas nos três radioelementos, até o preto, para os mínimos valores relativos.

**AEROMAGNETOMETRIA - PRODUTO COM FUSÃO SRTM E DECONVOLUÇÃO DE EULER**



No mapa de gradiente total a anomalia magnetométrica é correlacionada em relação ao corpo causativo, o caráter dipolar é visível e o que simplifica a interpretação. Todavia, dimensões horizontais na anomalia em relação ao corpo causativo são exageradas. Recomenda-se a utilização deste produto para realizar a distribuição de radioelementos magnéticos na área e também como forma de simplificar a interpretação dos mesmos. A deconvolução Euler utiliza derivadas do campo magnético anômalo para estimar a geometria das fontes magnetométricas localizadas em subsuperfície. Neste trabalho foi empregado o índice 1 para a deconvolução de Euler com o intuito de realçar as estruturas lineares magnéticas da área.

**MODELO DIGITAL DO TERRENO E BASE CARTOGRÁFICA COM A IDENTIFICAÇÃO DAS ESTAÇÕES GEOQUÍMICAS DE SEDIMENTOS DE CORRENTE (QUANDO EXISTIR)**

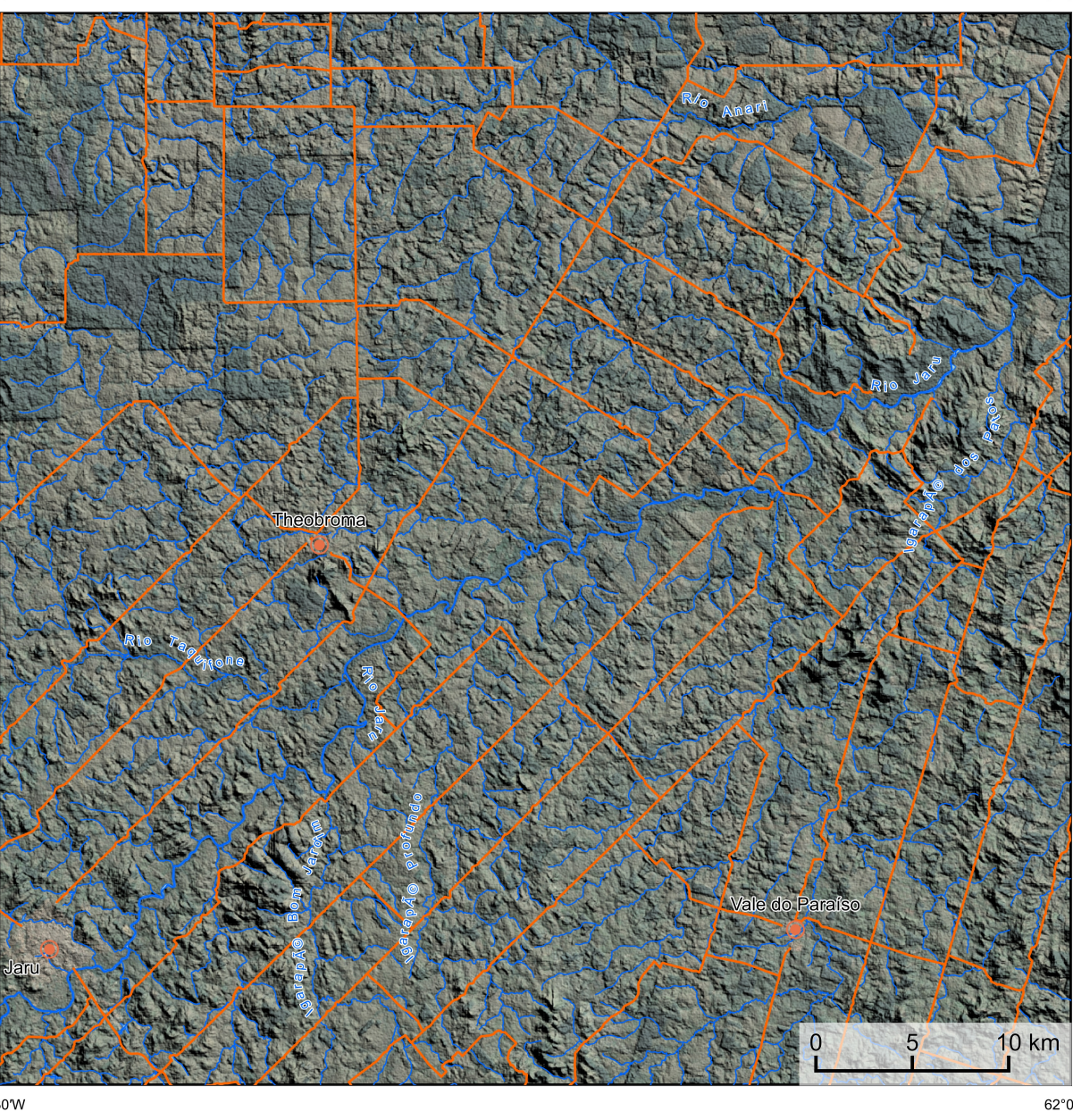
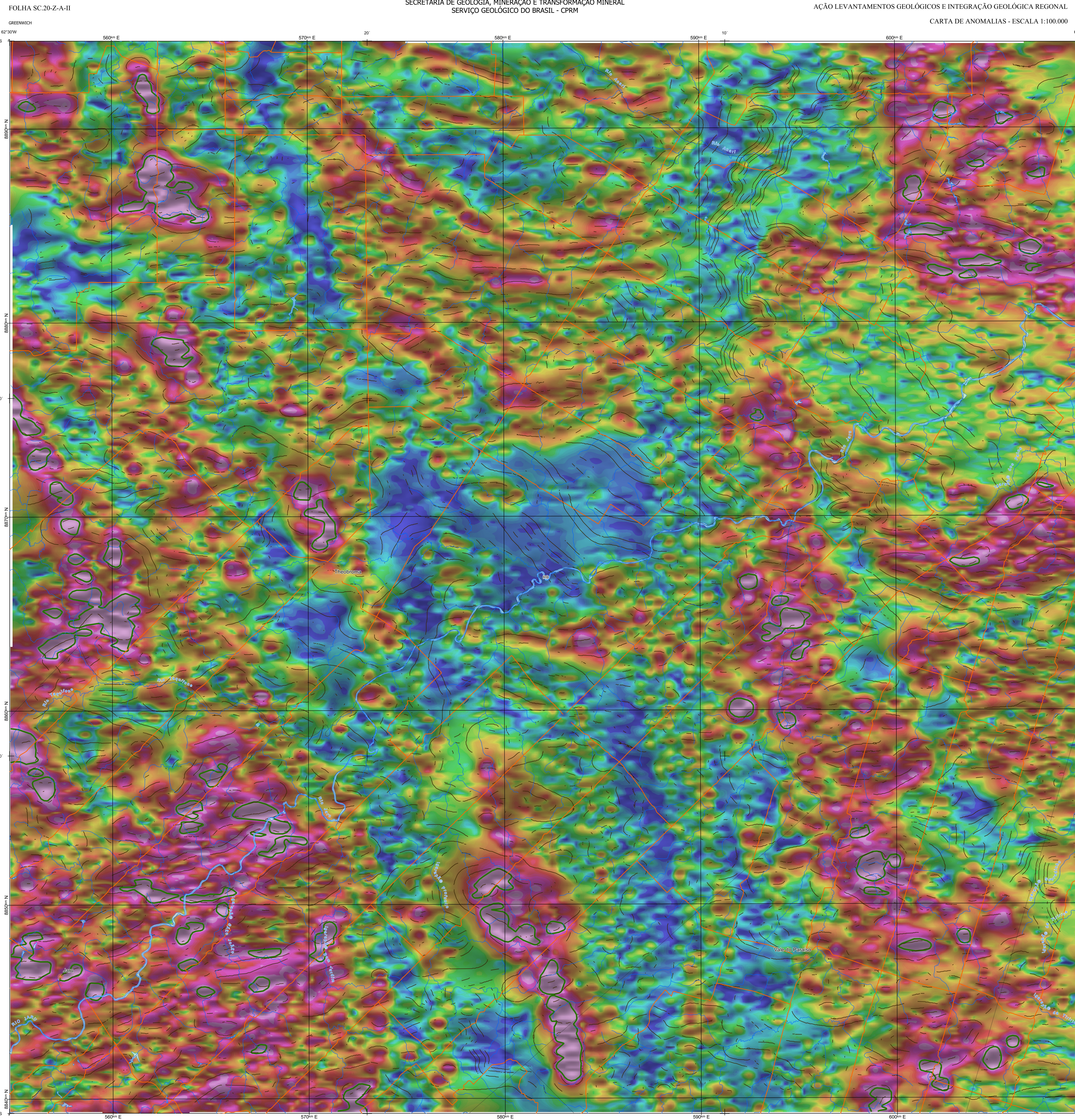
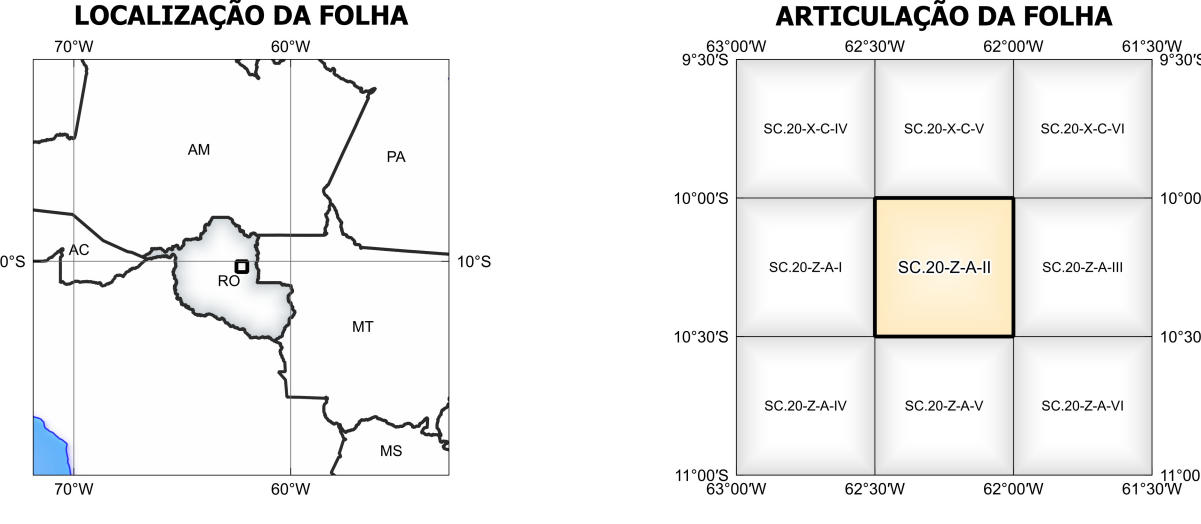


IMAGEM GOOGLE EARTH - NOVEMBRO 2022



**NOTA TÉCNICA**  
Com o objetivo subsidiar de informações geocientíficas as iniciativas e projetos de pesquisa mineral do setor privado, o Serviço Geológico do Brasil-CPRM disponibiliza diversos produtos que visam auxiliar na definição de áreas potenciais para novas descobertas. Este novo produto denominado "carta de anomalias" é apresentado para diversas áreas do território brasileiro, que incluem províncias minerais consolidadas ou em consolidação. A "carta de anomalias" é baseada por um banco de dados de imagens geofísicas, geológicas, geoquímicas e de recursos minerais, disponibilizado no site do Serviço Geológico do Brasil - CPRM. O banco de dados aerogeofísicos utilizado na construção deste produto foi obtido através dos Projetos Rio Machado e Rondônia Central, adquiridos respectivamente, em 2009 e 2010, pelo Serviço Geológico do Brasil - CPRM. Esse projeto possui espessura entre as linhas de voos de 500 m na direção norte-sul e altura média de voos de 100 m. Linhas de controle complementam os dados. Devido às características dos equipamentos utilizados na aquisição dos dados, tem-se em média, ao longo da linha de voos uma linha geomagnética a cada 8 m e uma linha gamaespectrométrica a cada 80 m.

A composição do Gradiente Total (GT) binária com a Inclinação do Sinal Analítico (ISA) - MAPA PRINCIPAL - tem como objetivo ressaltar os pontos fortes desses dois filtros. Dentro os filtros citados, o GT apresenta a maior correlação com a geologia de superfície; porém, a perda de resolução com a profundidade é relevante. Como a ISA equaliza as fontes profundas às superficiais das ruínas, esse problema do GT é minimizado. Desta forma, tem-se um produto que representa a distribuição de magnetização rasa, e que também é possível identificar a estrutura profunda. A combinação deste tema com as derivadas verticais permite ao usuário ter uma leitura qualitativa das fontes rasas e profundas.

Os mapas geológicos preditivos (CRACKNELL & READING, 2014; COSTA *et al.*, 2019) - ENCARTE GEOLÓGICO PREDITIVO - apresentam resultados para o auxílio do mapeamento geológico utilizando machine learning para acelerar a cartografia geológica. A resolução e qualidade dos resultados cartográficos está diretamente relacionada aos dados de entrada. Foi utilizado como dados de entrada levantamentos aerogeofísicos com 500 m de espaçamento de linhas de voos e interpolados em grade com tamanho de célula de 125 m. Imagens de sensoramento remoto Landsat 8 das bandas 2 (0,450 - 0,615 µm), 3 (0,635 - 0,660 µm), 4 (0,650 - 0,680 µm), 5 (1,550 - 1,660 µm) e 7 (2,100 - 2,200 µm). Além da cartografia geológica em escala 1:250k, utilizada como target (alvo). A metodologia consiste em separar todos os dados em folhas 1:100k e ajustar qualquer diferença de projeção geográfica, bem como reorientar todas as imagens para a menor resolução dos dados.

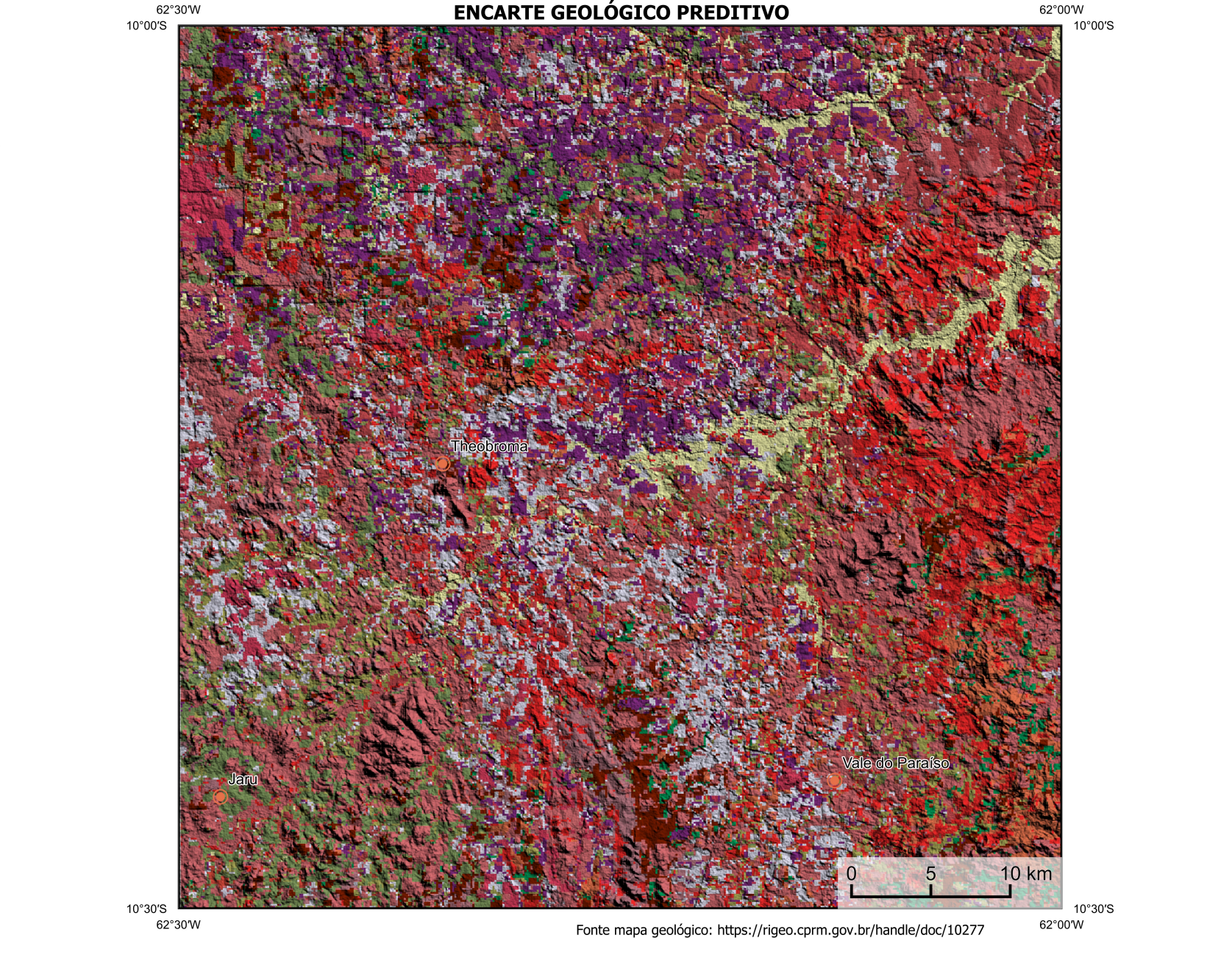
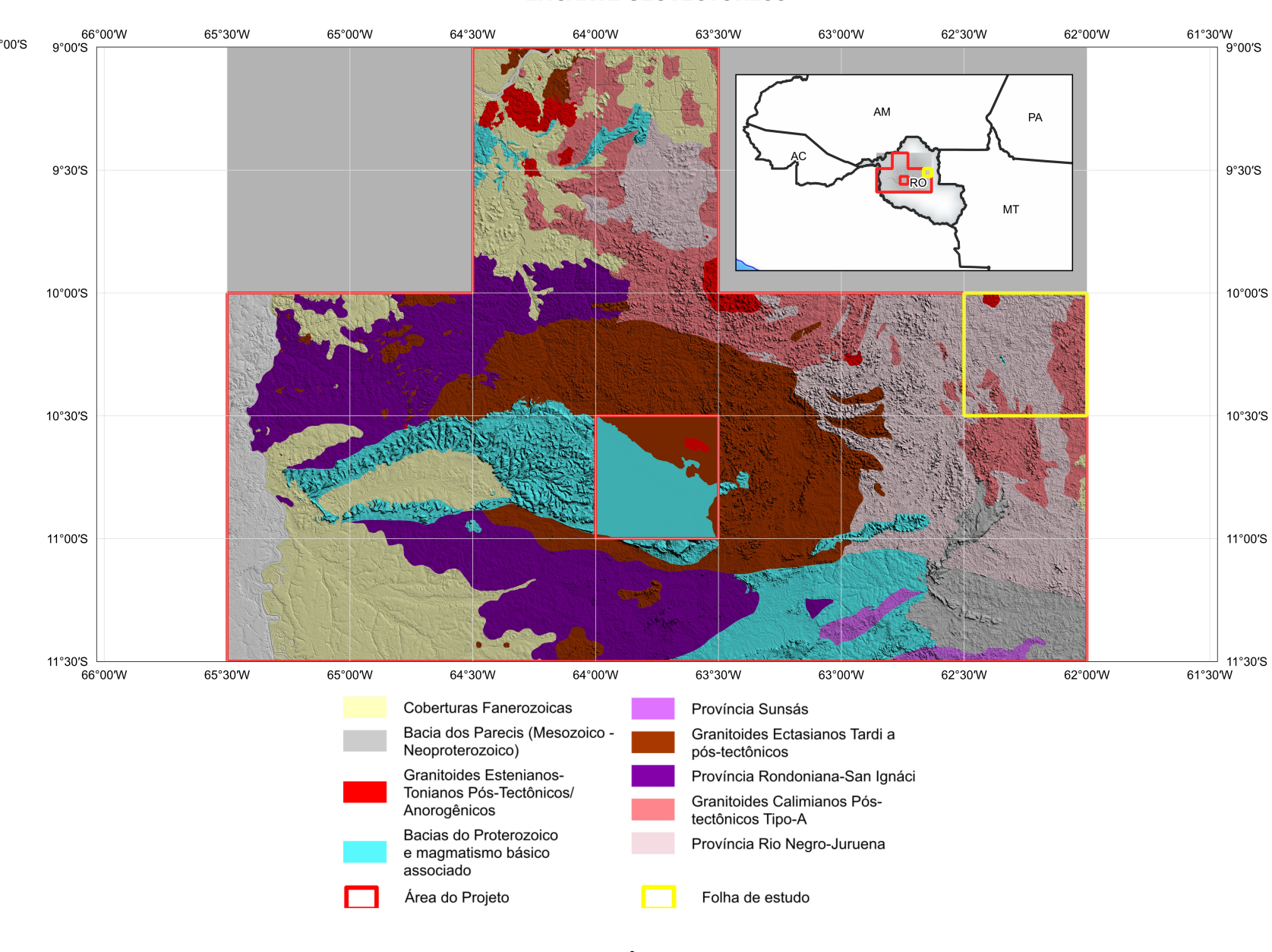
O modelo com a melhor combinação de hiperparâmetros é utilizado para prever as litologias. Uma das limitações mais notáveis da metodologia é o aspecto granular do resultado, que ocorre devido à falta de informação espacial como dado de entrada para os modelos. Além disso, os alvos são selecionados aleatoriamente com base em mapas de baixa resolução (1:250k), ficando com que os dados de treino, validação, e teste sejam altamente contaminados com ruído de interpretação.

O método de extração automática de lineamentos magnetométricos é dividido em duas etapas: i) análise de textura para realçar as variações magnéticas locais, ii) detecção de simetria para identificar as descontinuidades magnéticas (HOLDEN *et al.*, 2008). O método é eficiente para detectar zonas de cisalhamento, falhas epiplata, e limites de domínios magnetométricos. Indica-se os lineamentos automáticos como um guia à interpretação estrutural. Todavia, a interpretação deve ser feita com cautela, visto que o método tende a segmentar as estruturas regionais, e gerar artefatos curvilíneos. Portanto, recomenda-se a utilização em conjunto com os dados magnetométricos brutos.

Este *layour* é gerado de forma automática, desta forma, o texto referente ao processamento dos dados geoquímicos permanece na sua técnica mesmo quando não existirem dados geoquímicos para esta folha. Os dados geoquímicos estão disponíveis no Sistema de Geocientíficas do Serviço Geológico do Brasil (GeoSGB). As amostras de sedimentos de corrente foram coletadas de maneira com posto e acondicionadas em sacos de pano, secas naturalmente e pulverizadas - 200#. Foram enviadas para análise por ICP-MS por digestão de água rasa, e para Au por fire assay nos laboratórios da ITS - Intertek - Testing Services - Brestor Cragg do Brasil.

As amostras de concentrados de minerais pesados foram coletadas de maneira simples a partir de 15 l de material aluvionar, e acondicionadas em sacos plásticos. As amostras foram submetidas à análise mineralógica ótica semiquantitativa e contagem de píntas de ouro nos Laboratórios de Análises Minerais do SGB-CPRM nas subestações Regionais de Porto Alegre e Recife. Os pontos de destaque mineralométricos foram selecionados por conterem partículas de ouro aluvionar. Os pontos de amostragem geoquímica mostram concentrações detectáveis para os elementos Au, Cu, Pb e Zn, onde foram considerados valores de concentração maiores que 75% da população de cada elemento.

**CARTA DE ANOMALIAS**  
FOLHA SC.20-Z-A-II  
ESCALA 1:100.000 - SGB/CPRM, 2022



**Legenda Geológica Preditiva**  
QzA, PP4pc, MP2m, MPI1p, MPI2p, MPI3p, MPI4p, MPI5p, MPI6p, MPI7p, MPI8p, MPI9p, MPI10p, MPI11p, MPI12p, MPI13p, MPI14p, MPI15p, MPI16p, MPI17p, MPI18p, MPI19p, MPI20p, MPI21p, MPI22p, MPI23p, MPI24p, MPI25p, MPI26p, MPI27p, MPI28p, MPI29p, MPI30p, MPI31p, MPI32p, MPI33p, MPI34p, MPI35p, MPI36p, MPI37p, MPI38p, MPI39p, MPI40p, MPI41p, MPI42p, MPI43p, MPI44p, MPI45p, MPI46p, MPI47p, MPI48p, MPI49p, MPI50p, MPI51p, MPI52p, MPI53p, MPI54p, MPI55p, MPI56p, MPI57p, MPI58p, MPI59p, MPI60p, MPI61p, MPI62p, MPI63p, MPI64p, MPI65p, MPI66p, MPI67p, MPI68p, MPI69p, MPI70p, MPI71p, MPI72p, MPI73p, MPI74p, MPI75p, MPI76p, MPI77p, MPI78p, MPI79p, MPI80p, MPI81p, MPI82p, MPI83p, MPI84p, MPI85p, MPI86p, MPI87p, MPI88p, MPI89p, MPI90p, MPI91p, MPI92p, MPI93p, MPI94p, MPI95p, MPI96p, MPI97p, MPI98p, MPI99p, MPI100p.

**RECURSOS MINERAIS**

**CONVENÇÕES CARTOGRÁFICAS**  
Drenagem, Rodovias, Cidades, Curto de água perene, Estados Brasileiro.

**LINEAMENTOS GEOFÍSICOS**  
Lineamentos Magnetométricos Automatizados

**ANOMALIAS GEOFÍSICAS**  
Anomalia do Gradiente Total (m = 2°)

**SEM RECURSOS MINERAIS CADASTRADOS NO BANCO DE DADOS CONSULTADO PARA ESTA FOLHA**

**SEM AQUISIÇÃO DE DADOS GEOQUÍMICOS PARA ESTA FOLHA**



**CRÉDITOS DE AUTORIA**  
Luiz Gustavo Rodrigues Pinto, Marcos Vinícius Ferreira, Vitor de Paula Pinto, Raphael Teixeira Correia, Douglas de Jesus, Vinícius Carlos Ferreira, Djalene Bianchi Eberhardt, Michel Silva Santiago, Carlos Eduardo Santos de Oliveira, Dalton Rosenbergh da Silva.

**MINISTRO DE MINAS E ENERGIA**  
Adilson Soares

**SECRETÁRIO DE GEOLOGIA, MINERAÇÃO E TRANSFORMAÇÃO MINERAL**  
Cassiano de Souza Silva (titular)

**SERVIÇO GEOLÓGICO DO BRASIL - CPRM**  
DIRETOR PRESIDENTE: Paulo Paulo Dias Mesquita  
DIRETORIA DE GEOLOGIA E RECURSOS MINERAIS: Maria José Resende  
DIRETORIA DE HIDROGEOLOGIA E GESTÃO TERRITORIAL: Alice Silva de Castilho  
DIRETORIA DE ADMINISTRAÇÃO E FINANÇAS: Cassiano de Souza Alves  
DIRETORIA DE INFRAESTRUTURA GEOCIENTÍFICA: Paulo Vitor Romano

**COORDENAÇÃO TÉCNICA NACIONAL**  
DEPARTAMENTO DE GEOLOGIA: Vitor Roberto Santos Schiavato  
DEPARTAMENTO DE RECURSOS MINERAIS: Marcela Soares Silveira  
DIVISÃO DE GEOLOGIA BÁSICA: Patrick Araújo dos Santos  
DIVISÃO DE GEOLOGIA ECONÔMICA: Guilherme Ferreira da Silva  
DIVISÃO DE SENSORAMENTO REMOTO E GEOTECNIA: Luiz Gustavo Rodrigues Pinto  
DIVISÃO DE GEOQUÍMICA: Silvana de Carvalho Melo

**REFERÊNCIA BIBLIOGRÁFICA**  
PINTO, L. G. R., FERREIRA, M. V., PINTO, V. & P. CORRÊA, R. T., SILVA, D., FERREIRA, V. C., LIBERABATTI, D. R., SANGINETTI, M. S., OLIVEIRA, C. E. S., SILVA, D. R. Carta de anomalias, Folha SC.20-Z-A-II, São Paulo: CPRM, 2022. 1 mapa, cor, Escala 1:100.000.

**CITAÇÃO BIBLIOGRÁFICA**  
PINTO *et al.*, 2022

**CARTA DE ANOMALIAS**  
FOLHA SC.20-Z-A-II  
ESCALA 1 / 100.000  
PROJEÇÃO UNIVERSAL TRANSVERSA DE MERCATOR (UTM)  
Origem da quilômetros UTM: Equador e Meridiano Central: 63° W, Gr. Fuso 20S, hecridas as constantes: 10.000 km e 500 km, respectivamente.  
Datum horizontal: SIRGAS 2000  
2022

**SGB** SERVIÇO GEOLÓGICO DO BRASIL - CPRM

**SECRETARIA DE GEOLOGIA, MINERAÇÃO E TRANSFORMAÇÃO MINERAL**

**MINISTÉRIO DE MINAS E ENERGIA**

**PÁTRIA AMADA BRASIL** 150 ANOS